

深圳外国语学校(集团)高中部 2024 届高三年级第四次月考

地理试题

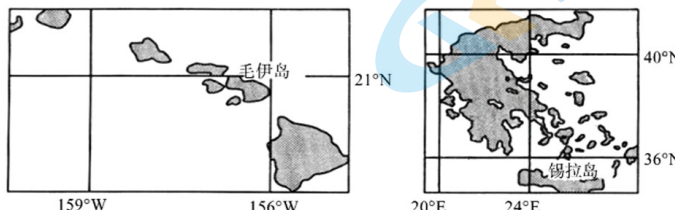
注意事项:

1. 答卷前,考生务必将自己的姓名、考生号、座位号、准考证号填写在答题卡上。
2. 回答选择题时,选出每小题答案后,用铅笔把答题卡上对应题目的答案标号涂黑。如需改动,用橡皮擦干净后,再选涂其他答案标号。回答非选择题时,将答案写在答题卡上。写在本试卷上无效。
3. 考试结束后,将本试卷和答题卡一并交回。

考试时间为 75 分钟,满分 100 分

一、选择题:本题共 16 小题,每小题 3 分,共 48 分。在每小题给出的四个选项中只有一项是符合题目要求的。

夏威夷群岛中的毛伊岛和希腊的锡拉岛(如图所示)上有世界闻名的红沙滩。读图,完成 1~2 题。

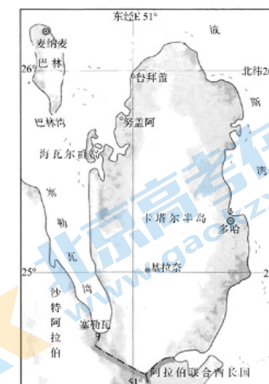


1. 毛伊岛位于锡拉岛的
 - A. 东北方向
 - B. 东南方向
 - C. 西北方向
 - D. 西南方向
2. 两岛间最短距离约为
 - A. 7800km
 - B. 11600km
 - C. 13600km
 - D. 16000km

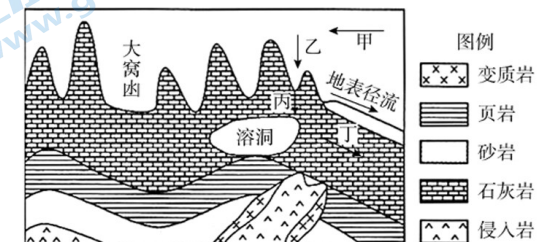
世界杯于 2022 年 11 月 20 日至 2022 年 12 月 18 日在卡塔尔举行,卡塔尔是个富裕的西亚地区国家,位于波斯湾沿岸地区,读西亚局部区域图,完成 3~4 题。

3. 2022 年 12 月 18 日卡塔尔时间 18 点(东三区),世界杯决赛打响,居住在北京的球迷小明应该在几点打开电视观看比赛
 - A. 2022 年 12 月 18 日 18 点
 - B. 2022 年 12 月 18 日 13 点
 - C. 2022 年 12 月 18 日 23 点
 - D. 2022 年 12 月 18 日 10 点

4. 世界杯举行期间所在季节,最可能出现的现象有
 - A. 地中海沿岸地区普遍炎热干燥
 - B. 西北太平洋台风灾害频繁
 - C. 南半球昼长夜短,且昼渐长
 - D. 地球公转速度逐渐变慢

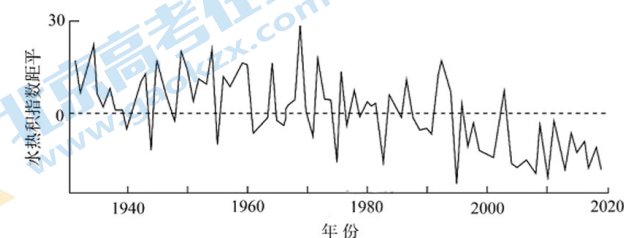


2016 年 7 月在贵州省平塘县大窝凼洼地建成了世界最大单口径射电望远镜。大窝凼所在地区多岩溶漏斗、峰林、天坑及溶洞,下图为大窝凼所在地区地质构造示意图(甲、乙、丙、丁表示水循环环节)。读图完成 5~6 题。



5. 根据图文信息判断,形成大窝凼地貌形态的主要地质作用是
 - A. 冰川堆积
 - B. 流水侵蚀
 - C. 风力侵蚀
 - D. 流水堆积
6. 下列关于喀斯特地貌景观特征的描述,正确的是
 - A. 奇峰林立,地表崎岖
 - B. 千沟万壑,支离破碎
 - C. 土墩和凹地相间纵列分布
 - D. 岸壁较陡,谷底狭窄

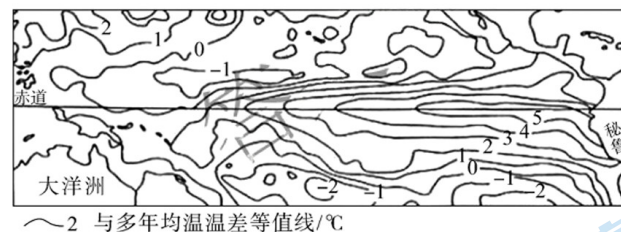
水热积指数 $k = T \times SD / 100$, 其中 T 表示某时期的平均气温($^{\circ}\text{C}$); SD 为某时期降水量与同期潜在蒸散量的差值,表征水分盈亏。 $k > 0$ 表示区域水热匹配较好, $k < 0$ 表示区域水热匹配较差。下图反映 1931~2019 年中亚地区水热积指数距平。据此完成 7~8 题。



7. 中亚地区水热匹配状况
 - A. 1960 年最好
 - B. 1975~1985 年波动变差
 - C. 1995 年最差
 - D. 2000~2019 年持续变差
8. 中亚高山高原区冬季水热积指数小于零的主要原因是
 - ① 气温低
 - ② 气温高
 - ③ 降水量大于潜在蒸散量
 - ④ 降水量小于潜在蒸散量

- A. ①③
- B. ②④
- C. ①④
- D. ②③

19世纪初,在南美洲厄瓜多尔(南邻秘鲁)和秘鲁等地,渔民们发现,每隔几年,从10月到次年3月便会出现一股沿海岸南移的暖流,使表层海水温度明显升高,沿岸地区渔业资源也会遭受灭顶之灾。后来,人们把这种现象称为厄尔尼诺。下图示意某次厄尔尼诺发生时太平洋部分地区表层水温距平值分布,读图,完成9~10题。



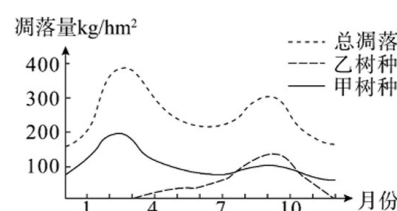
9.据图分析可知,厄尔尼诺现象对太平洋沿岸国家的主要影响是

- A. 印尼东部岛屿降水增多
- B. 澳大利亚东部森林火险等级升高
- C. 秘鲁沿岸降水减少
- D. 厄瓜多尔西部沿海洪涝减少

10.厄尔尼诺发生时,太平洋中

- A. 赤道逆流增强
- B. 秘鲁寒流东移并减弱
- C. 南赤道暖流增强
- D. 热带地区西部表层海水普遍升温

凋落物主要包括植被凋落的叶和茎等物质。落叶有两种情况:一是每当干旱或寒冷季节来临,落叶是植物减少蒸腾,保持体内水分,度过寒冷和干旱季节的一种适应;二是树木在新叶长出后,老叶渐次脱落,就全树看,终年常绿。影响该地总凋落物变化的主要因素是本土树种。下图示意我国某地总凋落物数量的逐月变化。据此完成11~12题。



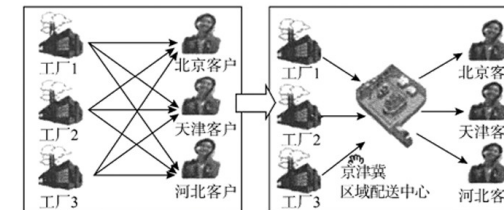
11.结合图文资料分析该地本土树种类型所处的自然带

- A. 热带雨林带
- B. 亚热带常绿阔叶林带
- C. 温带落叶阔叶林带
- D. 亚寒带针叶林带

12.以下四个地区中哪个为乙树种的主要分布区

- A. 北京
- B. 上海
- C. 洛杉矶
- D. 莫斯科

A公司是一家国内知名食品企业,拥有3家加工厂,供应100多种产品,销售网络覆盖全国,其中京津冀区域是其主要的销售市场。近年来,随着京津冀区域市场的扩张,大商场和连锁超市作为其主要客户在不断增加。为了适应市场的变化,公司决定通过建立京津冀区域配送中心替代原来“一对多”工厂直发客户的物流配送模式,先由工厂整车将产品运输至配送中心,再由配送中心按照客户需求配送到商场和超市。下图为A公司物流模式对比图。据此完成13~14题。



13.该公司建立京津冀区域配送中心会选择在

- A. 天津
- B. 北京
- C. 石家庄
- D. 唐山

14.为了降低成本,该配送中心在城市内选址时应主要考虑

- ①配送中心附近商超数量
- ②场地租赁费
- ③交通便利程度
- ④工厂到配送中心的距离

- A. ①②
- B. ①③
- C. ②④
- D. ②③

近年来,我国很多城市利用废弃的工业厂房,引进各种类型的创意产业,如摄影、动漫创作、教育培训、艺术等行业,改造成为具有创意特色的概念餐厅、主题咖啡馆、书吧等文化创意产业园区。下图示意某城市文化创意产业园一景。据此完成15~16题。



15.根据材料,城市文化创意产业的主要特点是

- A. 投资主体多元化
- B. 数量持续增加
- C. 发展探索国际化
- D. 产业链较完整

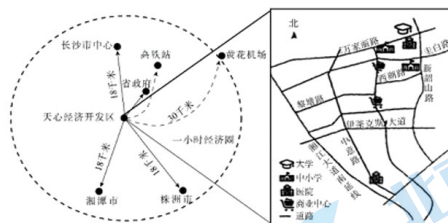
16.与传统服务业相比,该城市文化创意产业兴起的主要区位因素是

- A. 历史文化
- B. 自然资源
- C. 市场需求
- D. 网络信息技术

二、非选择题:本题共3题,共52分。

17. 阅读图文材料,完成下列要求。(18分)

天心经济开发区是长沙市最早成立的工业园区之一,成立初期以传统制造业为主。2013年,湖南省决定建设“长株潭城市群生态绿心”。天心经济开发区大部分区域属于“绿心”范围,制造企业大多被迁出,保留的制造企业生产规模缩小并进行转型升级。目前,天心经济开发区主要向社会提供研发设计、科技成果转化、制造质量技术监测等高新技术服务。下图示意天心经济开发区的位置及部分公共设施分布。



(1)指出天心经济开发区迁出企业的突出特点。(4分)

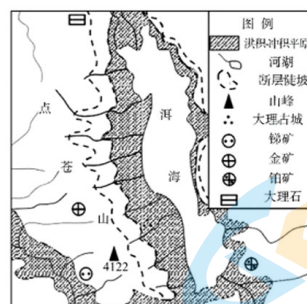
(2)简述天心经济开发区发展现代服务业的区位优势。(8分)

(3)分析天心经济开发区从传统制造业向现代服务业转型的机制。(6分)

18. 阅读图文材料,完成下列问题。(20分)

材料一 大理位于云南省中西部,地处云贵高原与横断山脉结合部位,地势崎岖。境内矿产资源种类多、数量大,尤以大理石矿最为有名。这里气候温和,雨季和旱季明显,自然风光秀丽,大理古城宛如一颗明珠镶嵌在苍山、洱海之间。

材料二 大理部分区域示意图。

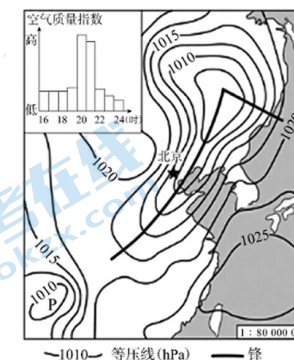


(1)说出地质时期该区域主要的内力作用及其留下的“痕迹”。(6分)

(2)简析大理地区外力侵蚀强度大的原因。(8分)

(3)近些年来大理古城受到一定的商业发展的影响和破坏,请你为保护大理古城建言献策。(6分)

19. 下图表示某日20时海平面气压分布及16~24时北京空气污染指数变化,据此回答下列问题。(14分)



(1)说出该日20时北京的空气质量状况,并推测其成因。(6分)

(2)试分析影响北京地区的天气系统南下时,对环境带来哪些有利影响。(8分)